

2维 $SU(N_C)$ 格点规范理论中夸克真空凝聚^{*}

江俊勤¹⁾

(广东教育学院物理系 广州 510303)

摘要 用改进的 Wilson 夸克格点哈密顿量和变分法研究 2 维 $SU(N_C)$ 规范场中夸克真空凝聚 $\langle\bar{\psi}\psi\rangle$ 与夸克质量 m_q 和 Wilson 参数 r 的依赖关系。结果表明：对于给定的 r , 当 $N_C=2, 3, 4, 5, 6, 7, \dots$ 时, $\langle\bar{\psi}\psi\rangle_{\text{sub}}a/(gN_C^{3/2})$ 的值随 m_q 的增大而减小。对于较大的 N_C (如 $N_C > 3$), 当 m_q 很小时, $\langle\bar{\psi}\psi\rangle_{\text{sub}}a/(gN_C^{3/2})$ 对 r 的依赖性很小, 但随着 m_q 的增大, $\langle\bar{\psi}\psi\rangle_{\text{sub}}a/(gN_C^{3/2})$ 对 r 的依赖性增大, 且 $\langle\bar{\psi}\psi\rangle_{\text{sub}}a/(gN_C^{3/2})$ 的值随 r 的增大而增大；特别是, 当 $m_q \rightarrow 0$ 时, 本文的格点结果与 Zhitnitsky 的连续理论分析结果(在弱耦合相中)很好地一致, 这意味着本文在 $m_q \neq 0$ 时所得到的结果是可靠的。

关键词 $SU(N_C)$ 格点规范理论 有质量 Wilson 夸克 改进哈密顿量 夸克凝聚

1 引言

格点 QCD 是研究强相互作用非微扰性质的最有效和可靠的方法, 存在着两种等价的理论形式——作用量形式和哈密顿量形式。作用量形式通过 Monte Carlo 数值模拟计算物理量(如: 强子质量谱), 是目前格点 QCD 的主流方法; 而哈密顿量形式则是通过解析计算求解本征方程来实现的, 其优点之一是: 便于计算强子的波函数。

近年来, 我们致力于格点哈密顿量的改进工作: 在格点哈密顿量中加入近邻或次近邻相互作用项。首先提出了 Wilson 夸克格点哈密顿量的改进方案, 使其有限格距误差从原来的 $O(a)$ 减小为 $O(a^2)$, 并计算了 2 维 QCD 中夸克凝聚和矢量介子质量谱^[1]; 接着又提出了胶子格点哈密顿量的改进方案, 使其有限格距误差从原来的 $O(a^2)$ 减小到 $O(a^4)$, 并用它计算了 3 维 $U(1)$, $SU(2)$ 和 $SU(3)$ 格点规范场的真空波函数和 0^{++} 胶球质量^[2-4]。所有结果都显示了改进格点哈密顿量的优越性。

2 维 $SU(N_C)$ 规范场具有非阿贝尔的“夸克-胶子”相互作用, 使得它和 4 维 $SU(N_C)$ 规范场有许多相似之

处, 不但可用来检验各种算法的可靠性, 以便推广到 4 维理论中去, 而且可以模拟 4 维理论中的某些物理性质。因此 2 维 $SU(N_C)$ 规范场被广泛地研究^[5-9]。早在 1974 年, 't Hooft 就用 $1/N_C$ 展开法对 2 维 $SU(N_C)$ 规范场进行了先驱性的研究^[5]; 而 Zhitnitsky^[8] 则在大 N_C 极限下用分析法得到了弱耦合相中夸克真空凝聚 $\langle\bar{\psi}\psi\rangle$ 与 N_C 的关系(当夸克质量 $m_q=0$ 时):

$$\langle\bar{\psi}\psi\rangle = -N_C \sqrt{\frac{e^2 N_C}{12\pi}}, \quad (1)$$

式中 e 为带质量量纲的裸耦合常数(在文献[8]中用 g 表示 e)。

在文献[1]中, 用改进的 Wilson 夸克格点哈密顿量和变分法, 研究了 2 维 $SU(N_C)$ 规范场中夸克真空凝聚 $\langle\bar{\psi}\psi\rangle$ 的标度行为(当夸克质量 $m_q=0$ 时)。本文在此基础上进一步考虑夸克质量不为零($m_q \neq 0$)的情况, 研究各种不同 N_C 值所对应的夸克真空凝聚 $\langle\bar{\psi}\psi\rangle$ 与夸克质量 m_q 和 Wilson 参数 r 的依赖关系。

2 改进的格点哈密顿量和变分法

改进的 Wilson 夸克格点哈密顿量为^[1]

2006-03-24 收稿

* 广东教育学院教授科研专项基金资助

1) E-mail: jqjiang@gdei.edu.cn

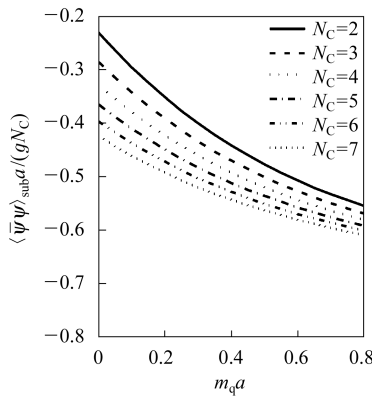


图 2 当 $1/g^2 = 2, r = 1$ 时, $\langle\bar{\psi}\psi\rangle_{\text{sub}} a/(gN_C)$ 与 $m_q a$ 的关系

从图1和图2(及更多的计算, 限于篇幅未画出)可见: 对于给定的 r , 当 $N_C=2, 3, 4, 5, 6, 7, \dots$ 时, $\langle\bar{\psi}\psi\rangle_{\text{sub}} a/(gN_C)$ 的值随 m_q 的增大而减小; 对于给定的 m_q , 当 $N_C=2, 3, 4, 5, 6, 7, \dots$ 时, $\langle\bar{\psi}\psi\rangle_{\text{sub}} a/(gN_C)$ 的值随 r 的变化关系较为复杂.

据我们所知, 2维 $SU(N_C)$ ($N_C=2, 3, 4, 5, 6, 7, \dots$) 规范场中夸克真空凝聚与夸克质量 m_q 和 Wilson 参数 r 的依赖关系, 在以前的相关文献中从没有报道过, 因此只能与(1)式($m_q=0$ 的情况)作比较, 图3和图4分别给出了 $r=0.5$ 和 $r=1$ 时 $\langle\bar{\psi}\psi\rangle_{\text{sub}} a/(gN_C^{3/2})$ 随 $m_q a$ 的变化关系.

从图3和图4(及更多的计算, 限于篇幅未画出)可清楚地看到: 对于较大的 N_C (如 $N_C > 3$), 当 m_q 很小时, $\langle\bar{\psi}\psi\rangle_{\text{sub}} a/(gN_C^{3/2})$ 对 r 的依赖性很小, 但随着 m_q 的增大, $\langle\bar{\psi}\psi\rangle_{\text{sub}} a/(gN_C^{3/2})$ 对 r 的依赖性增大, 且 $\langle\bar{\psi}\psi\rangle_{\text{sub}} a/(gN_C^{3/2})$ 的值随 r 的增大而增大. 特别是, 对于不同的 r 值, 及 $N_C=4, 5, 6, 7, \dots$, 当 $m_q \rightarrow 0$ 时, $\langle\bar{\psi}\psi\rangle_{\text{sub}} a/(gN_C^{3/2})$ (即 $\langle\bar{\psi}\psi\rangle_{\text{cont}}/(eN_C^{3/2})$) 都几乎趋

于同一个值(-0.163), 这个值正是 Zhitnitsky 在弱耦合相中的分析结果^[8]: $\langle\bar{\psi}\psi\rangle/(eN_C^{3/2}) = -1/\sqrt{12\pi} \approx -0.163$. 也就是说, 当 $m_q \rightarrow 0$ 时, 本文的格点结果与 Zhitnitsky 在大 N_C 极限下用分析法得到的弱耦合相中的结果(当 $m_q=0$ 时)很好地一致, 因而可以相信本文在 $m_q \neq 0$ 时所得到的结果是可靠的.

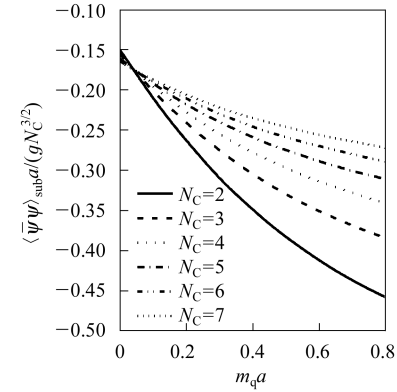


图 3 当 $1/g^2 = 2, r = 0.5$ 时, $\langle\bar{\psi}\psi\rangle_{\text{sub}} a/(gN_C^{3/2})$ 与 $m_q a$ 的关系

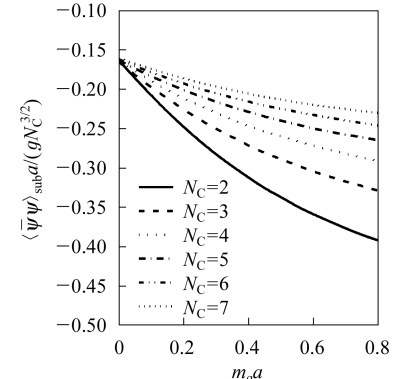


图 4 当 $1/g^2 = 2, r = 1$ 时, $\langle\bar{\psi}\psi\rangle_{\text{sub}} a/(gN_C^{3/2})$ 与 $m_q a$ 的关系

参考文献(References)

- 1 JIANG Jun-Qin, LUO Xiang-Qian et al. Phys. Rev., 1999, **D60**: 014501
- 2 JIANG Jun-Qin, LUO Xiang-Qian, GUO Shuo-Hong et al. HEP & NP, 1999, **23**(12): 1152(in Chinese)
(江俊勤, 罗向前, 郭硕鸿等. 高能物理与核物理, 1999, **23**(12): 1152)
- 3 JIANG Jun-Qin, LI Jie-Ming. HEP & NP, 2001, **25**(7): 617(in Chinese)
(江俊勤, 李洁明. 高能物理与核物理, 2001, **25**(7): 617);
- JIANG Jun-Qin. HEP & NP, 2005, **29**(2): 115(in Chinese)
(江俊勤. 高能物理与核物理, 2005, **29**(2):115)
- 4 JIANG Jun-Qin, LI Jie-Ming. Phys. Rev., 2003, **D68**: 094502
- 5 't Hooft G. Nucl. Phys., 1974, **B72**: 461
- 6 Steinhardt P J. Nucl. Phys., 1980, **B176**: 100
- 7 Bhattacharya G. Nucl. Phys., 1982, **B205**: 461
- 8 Zhitnitsky A R. Phys. Lett., 1985, **B165**: 405
- 9 LUO Xiang-Qian, CHEN Qi-Zhou. HEP & NP, 1992, **16**(8): 676(in Chinese)
(罗向前, 陈启洲. 高能物理与核物理, 1992, **16**(8): 676)

Quark Condensate in Two-Dimensional $SU(N_C)$ Lattice Gauge Theory with Massive Wilson Quarks^{*}

JIANG Jun-Qin¹⁾

(Department of Physics, Guangdong Institute of Education, Guangzhou 510303, China)

Abstract Using the improved lattice Hamiltonian with massive Wilson quark and the variational method, we study the quark mass m_q and the Wilson parameter r dependences of the quark condensate $\langle\bar{\psi}\psi\rangle$ in the two-dimensional $SU(N_C)$ lattice gauge theory. The numerical results show that when r is given, for $N_C=2, 3, 4, 5, 6, 7, \dots$, the value of $\langle\bar{\psi}\psi\rangle_{\text{sub}} a/(gN_C^{3/2})$ decreases as m_q increases. For $N_C > 3$, when m_q is small, $\langle\bar{\psi}\psi\rangle_{\text{sub}} a/(gN_C^{3/2})$ is almost independent of r ; when m_q is large, $\langle\bar{\psi}\psi\rangle_{\text{sub}} a/(gN_C^{3/2})$ increases with increasing r . Particularly, when $m_q \rightarrow 0$, our numerical results agree very well with Zhitnitsky's analytical weak coupling result in the continuum, which implies that our numerical results in the case of $m_q \neq 0$ are reliable.

Key words $SU(N_C)$ lattice gauge theory, massive Wilson quark, improved Hamiltonian, quark condensate

Received 24 March 2006

* Supported by Professor Foundation of Guangdong Education Institute

1) E-mail: jqjiang@gdei.edu.cn